

水平補剛材を有するハイブリッド・プレートガーダーの曲げ耐荷力

○大阪大学工学部 前田 幸雄
大阪大学大学院 川井 豊

1. まえがき 最近我が国でも美観上、道路交通上さらには維持補修の有利さから比較的大絶間の橋梁に対してモプレートガーダーが用いられることが多くなってきた。しかし、絶間の増大と共に使用鋼重は著しく増大するため他の橋梁形式と同様死荷重の軽減は大きな問題である。そこで考えられるのが高張力鋼の有効な使用であるが、従来からの均質桁に高張力鋼のみを単独に用いるのは、座屈により支配される部分や最終状態においても余り応力を受けることのない部分に関しては、高張力鋼の利点を充分に使い尽すことが出来ず効果が薄い。さらには、高張力鋼の均質桁では、強度は期待出来ても剛性が小さくなり鏡みの面からも好ましくない。その為、重量と効率の良いモプレートガーダーとして研究されてきたのが、断面各部の機能に応じた材質の鋼材を組成したハイブリッドガーダー(混成桁)である。本研究は、荷の高いハイブリッドガーダーの曲げ性状、曲げ耐荷力を大型試験機を用いて、実験的に研究したものである。

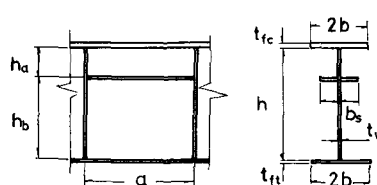
2. 実験 2-1. 実験目的 本実験の目的は、アメリカにおけるハイブリッド梁の設計標準で除外されている非合成上下非対称断面で、かつ水平補剛材を有する荷の高いハイブリッドガーダーの曲げ性状及びその耐荷力を調べることにある。具体的には、(1)上下非対称完全ハイブリッドガーダーの静的載荷時の曲げ性状 (2)腹板細長比の変化が最終耐荷力に及ぼす影響 (3)腹板アスペクト比の変化が最終耐荷力に及ぼす影響 (4)水平補剛材の効果 (5)上下非対称断面としたときの圧縮引張面フランジの釣り合い断面積比³⁾を主として調べる。

2-2. 実験機 全長6.3m(4体)、5.8m(3体)、3.3m(1体)計8体の実験機は表-1に示す様な諸元をもつテストパネル、支点と載荷点とテストパネル間の側方パネルから成る。実験機は大別して、アスペクト比ひが0.5のAL桁と1.0のBL桁の2種類あり、おのおの腹板細長比βを150~300迄50おきに変化させてある。

圧縮フランジ寸法は、垂直化域に達する迄等性局部座屈まで⁶⁾生じない様定められ水平補剛材は最小剛比の40~65倍(表-1の値)とし、垂直補剛材と圧縮フランジ、垂直補剛材と水平補剛材を直接より連結して

いる。使用鋼材は、圧縮フランジSM58、腹板SS41、引張フランジHT80、補剛材SM50で引張試験の結果天々の降伏点はSM58: $\sigma_y/f_c = 53.6 \text{ %/mm}^2$ 、SS41: $\sigma_y/f_c = 50.1 \text{ %/mm}^2$ 、HT80: $\sigma_y/f_c = 44.3$

GIRDER	COMP. FLG. ($2bx t_{fc}$)	TENS. FLG. ($2bx t_{ft}$)	WEB ($h x t_w$)	$\beta = \frac{h}{t_w}$	$\alpha = \frac{a}{h}$	$\frac{b}{t_{fc}}$	$\frac{A_w}{A_{fc}}$	γ/γ^*
AL-1	200x12.9	200x8.0	675x4.8	141	0.50	7.75	1.26	4.0
AL-2	"	"	900x4.8	188	"	"	1.67	4.5
AL-3	"	"	1125x4.8	234	"	"	2.09	5.2
AL-4	"	"	1350x4.8	281	"	"	2.51	5.9
BL-1	"	"	675x4.8	141	1.00	"	1.26	5.3
BL-2	"	"	900x4.8	188	"	"	1.67	5.7
BL-3	"	"	1125x4.8	234	"	"	2.09	6.1
BL-4	"	"	1350x4.8	281	"	"	2.51	6.5



(mm)

表-1. テストパネル諸元

kg/mm^2 , SM50; $E_s = 36.8 \text{ GPa}$ を得た。析製作時の腹板の最大初期挠曲量は、Standard Specifications for Welded Highway and Railway Bridges (A.W.S. New York, 1963)によりパネル高さの1/50以内とし、これ以上の初期挠曲を有した析(BL析)については、パネルの底面線上に線状加熱を行ない歪取り加工を施した。最終的な最大初期挠曲量は表2に示す通りである。

2-3. 実験装置及び実験方法 実験装置の概略を図-1に示す。載荷方法は、200トン・センター・ホール・ジャッキ2基で下方より載荷し、載荷点間にテ스트パネルと側方パネルした純曲げを与えた。但し、AL-4析のみは1:1.5の比で載荷して曲げ剪断の組合せテストとした。荷重は、200トンロードセルを析とシャッキ間に挿入し検定した。析の横倒れは、テストフロアに取付けた6基のトラスよりφ90^{mm}のパイプを両端ピンとして、析の上下方向の変位及びフランジの回転を拘束しない様、析の圧縮フランジに6個(BL析)又は4個(AL析)引張フランジに2個取付け防止した。測定は、腹板の横挠みを図-2に示す如き、アングル取付けられたダイアルゲージを横方向へ移動させて行ない、歪は電気抵抗線歪計で、又析の鉛直挠みをダイアルゲージで測定した。

3. 実験結果と考察

3-1. 析の挙動 全析とも腹板座屈荷重迄は、撓み歪みの測定値は良好な荷重との線形關係を示した。腹板座屈後は、荷重と測定値の線形關係は失なつたが無制限に流れることはなく、充分な耐力を示し腹板の座屈は析の破壊には向う直接的影響を及ぼさないことが判る。又、その後、アスヤクト比の小さなAL析を除き腹板圧縮側サブパネルの横挠みが急増し座屈したが、これも析の破壊には直接影響するところではなく、全析とも圧縮引張両フランジが座屈した後、座屈歪をはるかに越え、その曲げ剛性がほとんど無視される程度になって後、圧縮フランジが局部塑性座屈を起こし最終荷重に到達した。最終荷重は、腹板座屈荷重の約3倍、腹板座屈荷重の1.2~1.5倍であった。

3-2. 断面の垂直歪分布 図-3は腹板の横挠みによる二次的な曲げ歪の影響を除いた断面の垂直歪分布を示したものである。腹板の座屈迄は断面の曲げ歪分布は初等梁理論で示される分布形状と一致するが、腹板の一部分で座屈を開始すると、その分布は乱れを示し、各試験体さらには析軸方向にも異なる分布となる。この分布の乱れは、腹板の座屈が断面の非対称の端に先行する引張側に著しく、同一の試験体でもテ스트パネル中央よりも垂直補剛材近辺の接線の交差する近辺に著しく、密接残余応力の影響を大きいと考えられる。しかし、フランジ構成は高張力鋼を使用しているために、末だ弹性域にあって、腹板歪が無制限に塑性流れを起こすのが抑えられているのが判る。腹板圧縮側では、

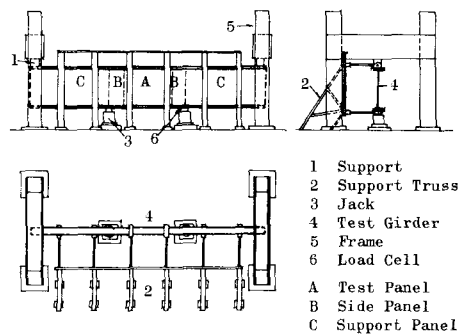


図-1. 実験装置概略

β	150	200	250	300
α	0.5	1.0	0.5	1.0
GIRDER	AL-1	BL-1	AL-2	BL-2
δ_1	0.57	0.55	0.89	1.73
δ_1/t_w	0.12	0.11	0.19	0.36
h_b/δ_1	1189	982	1011	416
	554	211	533	209

δ_1 : パネル最大初期撓曲量 (mm)

表-2. 腹板初期撓曲

表-2. 腹板初期撓曲

腹板細長比 $B=300$ の AL-4, BL-4 以外はサブパネルに於て完全に降伏歪を越えた後、腹板座屈による歪の反転が見られたが、応力の欠耗部になるには至っていない。AL-4, BL-4 では腹板がまだ弾性域にあるうちこの現象を生じ、圧縮側サブパネルで応力の欠耗部が生じている。腹板端部の降伏、又はサブパネルの座屈と同時に、フランジでは、歪の増分が徐々に増加し、応力の再分配が行なわれている。

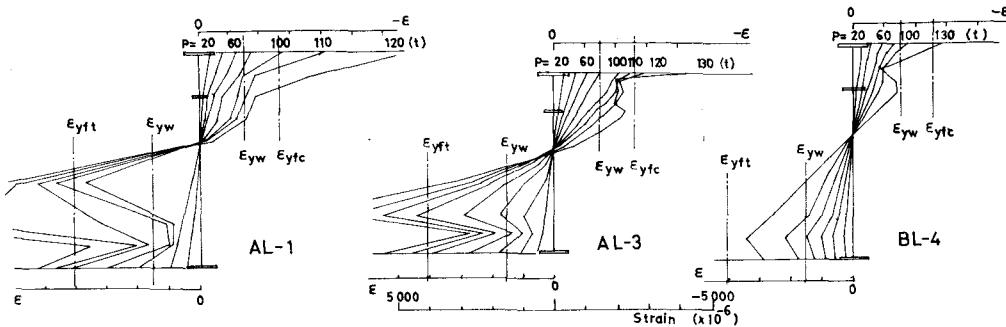


図-3. 曲げ歪分布

3-3. 腹板横接み 図-4 はテストパネル中央の腹板横接み形を示している。荷重の増加に伴ない、曲率の数はそのままもしくは増加し、引張側腹板の横接みは減少、圧縮側で増加する傾向が認められた。しかし、その形状は必ずしも初期横接みの増大形とはなっていない。これら腹板の横接みの増加は、

5) Toprac 等の水平補剛材のないハイブリッドガーダーの実験結果より横接みの増加率は小さく、補剛材によってよく拘束されるのが観察された。

3-4. 圧縮フランジの歪分布 図-5 に水平座屈を生じた桁の代表例と、水平座屈を生じなかつた AL-1 の圧縮フランジの歪分布を示す。水平座屈強度は断面形状の他水平方向支持長(座屈長)により定まるため水平方向のブレーシングを施すれば直上に帰る。本実験桁の場合 AL-4 が支持間隔 50 cm, BL-4 が 75 cm と支持長が比較的短い點、全桁とも非弹性座屈の領域の細長比である。その結果水座屈を生じた桁でも、歪が塑性域に達した後生じており、しかも徐々に進行しているのが判る。

3-5. フランジ断面積比 圧縮引張面フランジに、その機能に応じた材料を使用するためには、適当な断面積の比が必要である。即ち、圧縮フランジが降伏、又は座屈する荷重と引張フランジが座屈する様に断面積比を選ぶのが適当であろう。この考えに基き、平面保持の仮定と応力の釣り合いより、上下フランジの断面積比 $\alpha (= A_{ft}/A_{fc})$ を求める式を得る。

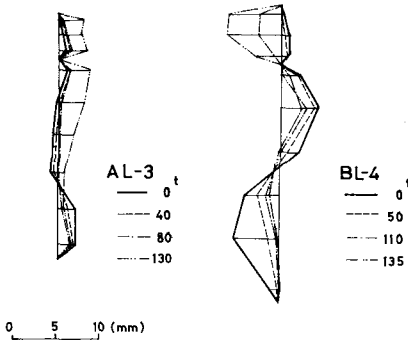


図-4. 腹板横接み。

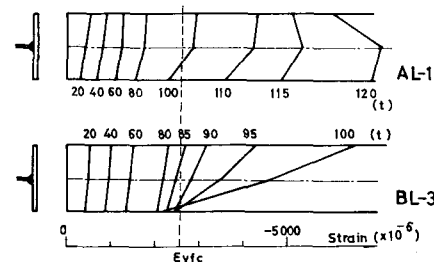


図-5. 圧縮フランジ歪分布。

$$\hat{\alpha} = \frac{G_{yw}}{G_{yt}} \cdot \left(\frac{G_{yt}}{G_{yw}} - \frac{A_w \cdot G_{yt} - G_{yw}}{A_t \cdot G_{yt} + G_{yw}} \right) \quad \text{----- (1)}$$

ここに、 A_t, A_f, A_w は夫々、圧縮引張フランジ及び腹板の断面積を、 G_{yt}, G_{yw} は引張フランジ、腹板の降伏応力を、 G_{yt} は圧縮フランジの降伏応力、 α は座屈応力を表す。実験値は (1) 式に基き決定されており。歪の測定値から上下フランジの歪が夫々の降伏歪に達する荷重をみると、ほぼ同じ荷重で降伏している。この結果、腹板の降伏後の歪分布の舌化けを考えずに、平面保持の仮定より導いた (1) 式を用いて断面積比を定めてよいと思われる。

3-6. 水平補剛材の効果 腹板細長比の大きなプレートガーダーの腹板の補剛には原則的には次の 2 つの方法が考えられる。即ち、(1)補剛材に相当大きな曲げ剛性(最小剛度以上)をもたせ、その区画の座屈応力を高める方法。(2)補剛材に最小剛度以下の弱い曲げ剛性のものを用いるが、全体として腹板の座屈応力を高める方法である。今回の実験の場合は (1) の方法をとっているが、その上に、腹板の座屈後強度後座屈強度の向上に対する効果を期待している。図-3 の断面の歪分布を見れば、腹板座屈後、水平補剛材が圧縮フランジと共に格組としての働きをもたらしているのが判る。但し、AL 斜の一部は、テストパネル内の水平補剛材を側方パネル迄延長せず、曲げパネル全長にわたって連続していないので、アンカーの不足から軸力の伝達が不完全となり格組効果が小さくなつた。これらの結果、次の条件を満足する水平補剛材は、後座屈強度の向上に効果があり、最終曲げ耐荷力をあげるのに役立つ。即ち (1) 最小剛度の数倍(Massonet⁹⁾によれば 7 倍以上、今回の実験の場合 4~6.5 倍程度の効果が見られる)の剛度をもつ。(2) 水平補剛材両端のアンカーを完全に行なう。(3) 水平補剛材と垂直補剛材、垂直補剛材と圧縮フランジの交点を直接で連結し格組の一部とする。

3-7. 破壊形式 柱の破壊形式、破壊位置、終局モーメント M_u を表-3 に示す。柱の破壊形式で注目すべきことは、垂直座屈が腹板細長比の小さな柱にありても生じていることである。既存の実験結果によれば、水平補剛材のないもので腹板細長比 $\beta=388$ 以上(Basler⁹⁾)、水平補剛材を有するもので $\beta=407$ 以上(Cooper⁹⁾) 均質材の場合垂直座屈を生じている。しかし、腹板とフランジの降伏応力の差を大きく混成した本実験柱では β が 150 の柱で既にねじりを伴う垂直座屈を生じて破壊している。このことは、1964 年 U.S. Steel Corp. Applied Res. Lab. の実験(フランジ ASTM-A514、腹板 ASTM-A212)で $\beta=200$ 以上で垂直座屈を生じた例と類似しており、ハイブリッド・ガーダーの垂直座屈を生ずる β の限界値は均質材柱よりもかなり低いものと考えられる。ねじれ座屈に属しては、本実験柱の場合、圧縮フランジの中厚比 t_{sf}/t_{sf} を 7.75 と直線化せば局部ねじれ座屈を生じない中厚比制限⁶⁾ の計算値 13.7 の約 1/3 にあたっておるため、圧縮フランジの歪が非常に大きくなつて破壊した。

P_u (kN)	M_u (kNm)	MODE	Location of Failure
AL1 130	130	V. B.	
		T. B.	
AL2 85	170	V. B.	
		L. B.	
AL3 132	232	V. B.	
		L. B.	
AL4 127	274	V. B.	
		L. B.	
BL1 62.5	125	T. B.	
		V. B.	
		L. B.	
BL2 85	170	V. B.	
		L. B.	
BL3 110	220	V. B.	
		L. B.	
BL4 147	257	V. B.	
		L. B.	

V.B. : Vertical Buckling
T.B. : Torsional Buckling
L.B. : Lateral Buckling

表-3 柱の破壊状況

$\beta=150$ のやや slightly $A=1, B=1$ のみ、ねじり座屈の傾向が見られたと思われる。図-6に BL-4桁の破壊状況を示す。

3-8. 最終耐荷力 プレートガーダーの曲げ耐荷力の算定式には、水平補剛材の無いものについて、Bosler⁸⁾ の式、水平補剛材を有するものについては Ostapenko^{10), 11)} の式があり、特に Ostapenko の算定式は、均傷筋、ハーフブリッジ筋の両方に適用が可能であるとされている。しかし、上下非対称ハイブリッド筋の場合には、断面の降伏域の広がりの程度により中立軸の位置が異なる上に、腹板降伏域では断面が塑性化以上には抵抗出来ないことから、Ostapenko の算定式の基本となる応力分布とは若干異なるたる応力分布形を考えねばならぬ。そこで、終局状態に於ける応力分布を図-6の如く仮定し、最終耐荷力の算定を行なう。但し、充分に剛な水平補剛材を有する場合、今回の実験結果より応力分布に関する次の事がいえよう。即ち、(1)最終耐荷力近辺においては、水平補剛材位置の腹板は降伏してゐる。(2)腹板座屈による応力の欠損部は圧縮フランジと水平補剛材によって囲まれたパネルのみに生じ、水平補剛材のないものより欠損部は相当小さい。(3)腹板応力の欠損部は腹板細長比と共に増大する。これらを考慮して断面の抵抗モーメントより、最終耐荷力の算定を行なう。記号は図-6で示されるものを用いて、応力欠損部を丸として中立軸の位置は、

$$A_{fc}(E \cdot E_{fc}) + t_w \cdot (y_c - h_e) \bar{\sigma}_{yw} - t_w \cdot \frac{h_e}{2} \cdot \bar{\sigma}_{yw} + A_s \cdot \bar{\sigma}_{yw} = A_{fc}(E \cdot E_{fc}) + t_w \cdot (y_t - h_e) \bar{\sigma}_{yw} \quad \dots (2)$$

上式中、 $E_{fc} \geq E_{yt}$ のときは、 E_{yt} を $E_{fc} \geq E_{yt}$ のときは E_{yt} を用いる。又平面保持の仮定を用いると

$$\epsilon_{fc} = \frac{h - y_c}{y_c} \epsilon_{fc}, \quad h_e = \frac{\bar{\sigma}_{yw}}{E_{fc}} \cdot y_c \quad \dots (3)$$

$a = A_{fc}/A_{fc} > \hat{\alpha}$ のときは、圧縮フランジの降伏が先行するため中立軸は (2), (3) 式より、

$$\xi = \frac{y_c}{h} = \frac{1}{4} \left(\gamma + \sqrt{\gamma^2 + \frac{8a'}{S \cdot f_w}} \right) \quad \text{但し } \gamma = 1 - \frac{S \cdot l}{2} - \frac{l+a}{S \cdot f_w} - \frac{4s}{S} \quad \dots (4)$$

$$= k \quad S = A_w/A_{fc}, \quad f_w = \bar{\sigma}_{yw}/E_{fc}, \quad s = h_s/h, \quad l = h_t/h_s = \frac{h_t}{S \cdot h}, \quad a_s = A_s/A_{fc}$$

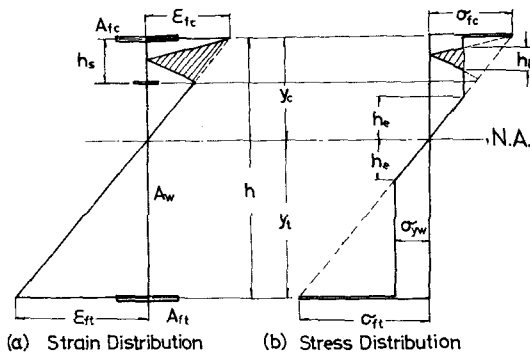
断面の抵抗モーメント： M_u^* は

$$M_u^* = A_{fc} \cdot h \cdot E_{fc} \left[\frac{\xi^2 + a(1-\xi)^2}{\xi} + S \cdot f_w \left\{ \frac{1}{2} (1-2\xi+2\xi^2) - \frac{2}{3} (f_w \cdot \xi)^2 - \frac{1}{2} S \cdot l \cdot (3 - \frac{S}{2}) \right\} + a_s f_w (\xi - S) \right] \quad \dots (5)$$

上式で $\bar{\sigma}_{fc}$ は圧縮フランジ柱の座屈応力度、又は降伏応力度である。次に $a \leq \hat{\alpha}$ のときは、引張フランジの降伏が先行するため、(2) 式で $E_{fc} = E_{yt}$ 又は $E \cdot E_{fc} = E_{yt}$ 、 $E \cdot E_{fc} = \bar{\sigma}_{fc}$ を用いて、

$$\xi = \frac{1}{2} \frac{a f_t + S f_w + \frac{1}{2} S f_w \cdot l \cdot S - (1 + a_s f_w)}{S f_w} \quad \dots (6)$$

図-6. 最終状態の歪、応力の分布形状



$$M_u^* = A_f \cdot \bar{f}_{fc} \cdot h \left[\beta + a \cdot f_f \cdot (1 - \beta) + s \cdot f_w \left\{ \frac{1}{2}(1 - 2\beta + 2\beta^2) - \frac{2}{3}(f_w \cdot \beta)^2 - \frac{1}{2} \cdot s \cdot l \left(\beta - \frac{s}{2} \right) \right\} + a_s \cdot f_w \left(\beta - s \right) \right] \quad (1)$$

但し、 $f_f = \bar{f}_{fc} / f_{fc}$

久に応力欠損率 λ は次の如く考える。即ち、 $\beta \leq \beta_0$ (β_0 はサブパネルの腰板座屈応力が \bar{f}_{yw} となる場合の腰板組長比) のとき $\lambda=0$ (欠損部は生じない)。 $\beta > \beta_0$ の範囲では、 λ は β と共に徐々に増加するが簡単のため、 $\beta > \beta_0$ で $\lambda=1.0$ とおく。 $\beta \geq \beta_0$ で $\lambda=0$ ， $\beta < \beta_0$ で $\lambda=1.0$ (B)

但し
$$\beta_0 = 1378 \sqrt{\frac{129.4}{\bar{f}_{yw}}} \quad (9)$$

表-4は最終耐荷力 M_u (実験値)と全塑性モーメント M_p^{th} 及び(1)式による最終耐荷モーメント M_u^* を示したものである。但し、全塑性モーメント M_p^{th} は式(10)で求められる。

$$M_p^{th} = A_f \cdot \bar{f}_{fc} \cdot h \left\{ s \cdot f_w \cdot \beta_p^2 + (1 - a \cdot f_f - s \cdot f_w + a_s \cdot f_s) \beta_p + (a \cdot f_f + \frac{1}{2} s \cdot f_w - a_s \cdot f_s \cdot s) \right\} \quad (10)$$

$$= 1 - \beta_p = \frac{1}{2} \cdot \frac{a \cdot f_f + s \cdot f_w - (1 + a_s \cdot f_s)}{s \cdot f_w}, \quad a_s = A_s / A_f, \quad f_s = \bar{f}_{ys} / \bar{f}_{fc}$$

M_u^* の計算においては、(9)式による β_0 の値が290に当ることから、AL-4, BL-4で $\lambda=1.0$ 、その他は $\lambda=0$ として計算したものであり、いずれも安全側のより算定値を与えているのが判る。

GIRDER	a	β	M_u	M_u^*	M_u/M_u^*	M_{yt}^{th}	M_u/M_{yt}^{th}	M_p^{th}	M_u/M_p^{th}
AL-1	0.5	141	130	110	1.18	110	1.18	112	1.16
AL-2	0.5	188	170	154	1.10	154	1.10	158	1.08
AL-3	0.5	234	232	202	1.15	202	1.15	207	1.12
AL-4	0.5	231	252	245	1.05	255	1.01	231	0.96
BL-1	1.0	141	125	111	1.23	111	1.23	113	1.11
BL-2	1.0	188	170	156	1.09	156	1.09	160	1.06
BL-3	1.0	234	220	205	1.07	205	1.07	210	1.05
BL-4	1.0	281	257	247	1.04	259	0.99	265	0.97

(t·m)

表-4 最終耐荷力の算定

ここで M_p^{th} とは、荷重の欠損部を考えない場合のフランジ降伏モーメントであり AL-4, BL-4以外は、この値が算定値となり、AL-4, BL-4で欠損部を考慮すれば約5%の耐荷力の減少となり安全側の値を得る。(1)式/(10)式では、アスペクト比の影響を考慮していいが、表-4より実験式として α 各に β と M_u/M_p^{th} との関係を直線関係として求めると、

$$\alpha=0.5 \text{ に対して } M_u/M_p^{th} = -0.00100/\beta + 1.323 \quad (11)$$

$$\alpha=1.0 \text{ に対して } M_u/M_p^{th} = -0.000900/\beta + 1.260 \quad (12)$$

となり、フランジ降伏モーメントが保證される腰板組長比が $\alpha=0.5$ に対して323、 $\alpha=1.0$ に対して289を得ることから、アスペクト比を小さくすることによっても曲げ耐荷力の向上を期待出来る。但し、この場合、 $A_f/A_f = A_w/A_f$ の影響は無視していい。又、今回の実験では、 $\beta=300$ の桁を除いて、フランジ降伏モーメントさらには全塑性モーメントを越えており、腰板歪が硬化化域に達していいものと思われるが、実用的には、フランジ降伏モーメントで上限をおさえた(11)式で算定した最終耐荷力を用いるのが安全側である。

3-9. ハイブリッド桁の曲げ耐荷特性 プレートガーダーの曲げ強度の最終目標は全塑性モーメントへの到達である。プレートガーダーの破壊がフランジの座屈又は降伏により支配される以上、腹板細長比を大きくすれば均質桁にありては、腹板が弹性域にあるにせかからず桁の耐荷力を失なうことが多い。しかし、ハイブリッドガーダーでは、桁が破壊するときには、ほとんど全断面が降伏していることになり(図-3参照)、断面の各材の強度を最大限利用しているのが判る。即ち、ハイブリッド桁の場合、均質桁に比較して、フランジ座屈モーメントは全塑性モーメントに近づき、より効率のよいプレートガーダーといえる。表-5は、水平補剛材を有するハイブリッドガーダーの耐荷特性を調べる爲に終局モーメントと腹板座屈モーメント、腹板座屈モーメント及びフランジ座屈モーメントとの比を示したものである。この表から判る様に、ハイブリッドガーダーでは、フランジ座屈モーメントが最も破壊に対する規準として明確であり、フランジの降伏に対して安全率をとつてハイブリットガーダーの設計を行なう合理性を示していいる。アメリカのハイブリッド桁の設計基準を、このフランジ座屈に対する安全率をとる方法をとつてあり最も妥当な方法と考えられる。

GIRDER	AL-1	AL-2	AL-3	AL-4	BL-1	BL-2	BL-3	BL-4
M_{yw}	38	55	74	95	38	55	74	95
$M_{crb}^{(*)}$	115	130	158	210	110	130	180	175
M_u	130	170	232	258	125	170	220	257
M_u/M_{yw}	3.42	3.09	3.14	2.72	3.29	3.09	2.97	2.70
M_u/M_{crb}	1.13	1.31	1.26	1.33	1.14	1.31	1.22	1.47
M_u/M_{yf}	1.18	1.10	1.15	1.01	1.23	1.09	1.07	0.99

表-6. 実験桁の曲げ耐荷特性

(*) 腹板横拘束の実測値
からの推定座屈モーメント (t-m)
 M_{yw} : 腹板座屈モーメント (t-m)
 M_{crb} : 推定座屈モーメント (t-m)
 M_u : 終局モーメント (t-m)

4. あとがき 今回の実験では、充分剛な水平補剛材を有する上下非対称ハイブリッドプレートガーダーの曲げ耐荷力を静的な荷重に限って研究を行なつたが、ハイブリッドガーダーでは、均質桁よりも接界に対する考慮が必要と考えられる。又、今回の実験桁よりも、さらに腹板細長比の大きな桁では一本の補剛材では(4)(5)式の基本となつてある応力分布が得られることを考え得る。この點今後、さらに細長比の大きな桁についての研究が必要であると共に、残留応力の問題を重要であり、今後の課題である。破壊強度については、現在大型試験桁による実験を計画中であり、次の機会に報告したいと考えている。



図2. 腹板横拘束装置状況

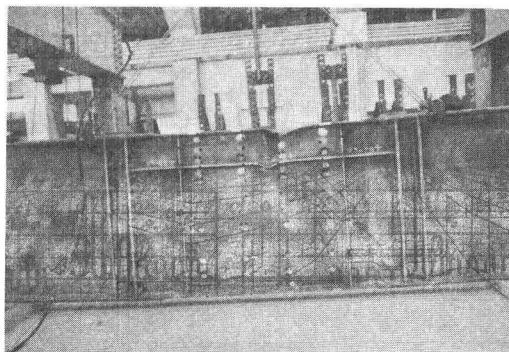


図6. BL-4 ($\alpha=1.0, \beta=300$) 破壊状況

参考文献及び引用文献

1. G.Haaijer "Economy of High Strength Steel Structural Members" ASCE Proc. Vol.87 No. ST8 December, 1961
2. R.W.Frost and C.G.Schilling "Behavior of Hybrid Beams subjected to Static Loads" ASCE Proc. Vol.90 No. ST 3, June 1964
3. Report of the Subcommittee 1 on Hybrid Beams and Girders Joint ASCE-AASHO Committee on Flexural Members "Design of Hybrid Steel Beams" ASCE Proc. Vol. No. ST6, June 1968
4. "Homogeneous and Hybrid Girder Design in the 1969 AISC Specification" Engineering Journal, January, 1970, Vol. 7 No. 1
5. H.S.Lew and A.A.Tepic "The Static Strength of Hybrid Plate Girders" S.F.R.L. Tech. Rpt. p.550-11, January, 1968
6. G.Haaijer "Plate Buckling in the Strain-Hardening Range" ASCE Proc. Paper 1212, EM2, 1957
7. Ch.Massonnet "Stability Consideration in the Design of Steel Plate Girders" ASCE Proc. Vol.80 No. ST 1, January, 1960
8. K.Basler and B.Thürliman "Strength of Plate Girder in Bending" ASCE Proc. ST6 August, 1967
9. P.B.Cooper "Strength of Longitudinally Stiffened Plate Girders" ASCE Proc. Vol.93 No. ST2, April, 1967
10. A.Ostapenko and C.Chern "Bending Strength of Linsymmetrical Plate Girders" Fritz. Eng. Lab. Rpt. No. 328.8, September, 1970
11. A.Ostapenko and C.Chern "Strength of Longitudinally Stiffened Plate Girders under Combined Loads" Fritz Eng. Lab. Rpt. No. 328.10, December, 1970